

การศึกษาสมบัติทางแสง และสมบัติการเปล่งแสงของแก้วแกโดลิเนียมแคลเซียมฟอสเฟตและฟลูออโรฟอสเฟตที่เจือด้วยไอออนของธาตุยูโรเปียม

Investigation of the Optical and Photoluminescence of Gadolinium Calcium Phosphate and Fluorophosphates Glass Doped with Eu^{3+} ion

ปิยะชาติ มีจิตร์ไพศาล^{1*} จิตรรา เกตุแก้ว¹ และ จักรพงษ์ แก้วขาว²

¹ภาควิชาฟิสิกส์ คณะวิทยาศาสตร์ มหาวิทยาลัยเทคโนโลยีพระจอมเกล้าธนบุรี
²ศูนย์วิจัยแห่งความเป็นเลิศทางเทคโนโลยีแก้วและวัสดุศาสตร์ มหาวิทยาลัยราชภัฏนครปฐม
*piyachat_mee@hotmail.com

บทคัดย่อ

แก้วแกโดลิเนียมแคลเซียมฟอสเฟตและฟลูออโรฟอสเฟตถูกเจือด้วยไอออนของธาตุยูโรเปียมในสูตร $\text{P}_2\text{O}_5\text{-CaO-Ga}_2\text{O}_3\text{-Eu}_2\text{O}_3$, $\text{P}_2\text{O}_5\text{-CaF}_2\text{-Ga}_2\text{O}_3\text{-Eu}_2\text{O}_3$, $\text{P}_2\text{O}_5\text{-CaO-GaF}_3\text{-Eu}_2\text{O}_3$ และ $\text{P}_2\text{O}_5\text{-CaF}_2\text{-GaF}_3\text{-Eu}_2\text{O}_3$ ถูกเตรียมด้วยวิธีการหลอมและลดอุณหภูมิอย่างรวดเร็ว และได้ทำการศึกษาสมบัติการดูดกลืนแสง, การกระตุ้นด้วยแสง, การเปล่งแสง และระยะเวลาของการเปล่งแสงจากสถานะกระตุ้นลงสู่สถานะพื้น สมบัติทั้งหมดทำการศึกษาที่อุณหภูมิห้อง การดูดกลืนแสงของแก้วที่เติมด้วยไอออนของยูโรเปียมปรากฏ 6 แถบการดูดกลืนแสงในช่วงแสงที่ตามองเห็น และช่วงใกล้รังสีอินฟราเรด การกระตุ้นด้วยแสงของแก้วตัวอย่างทำให้เกิดสเปกตรัมของการกระตุ้น 9 พีก โดยพีกที่ 394 นาโนเมตร มีความเข้มสูงที่สุด และได้ถูกเลือกใช้ในการวัดค่าการเปล่งแสงต่อไป การเปล่งแสงของแก้วตัวอย่างภายใต้การกระตุ้นด้วยแสงที่ 394 นาโนเมตร พบว่าเกิดการเปล่งแสง 5 แถบการเปล่งแสง โดยมีจุดศูนย์กลางที่ 579 นาโนเมตร, 590 นาโนเมตร, 612 นาโนเมตร, 652 นาโนเมตร และ 699 นาโนเมตร ระยะเวลาของการเปล่งแสงจากสถานะกระตุ้นลงสู่สถานะพื้นของระดับชั้นพลังงาน $^5\text{D}_0$ ที่เติมไอออนของธาตุยูโรเปียมซึ่งมีส่วนประกอบทางเคมีต่างกัน พบว่าระยะเวลาที่มีค่ามากขึ้นเมื่อปริมาณฟลูออไรด์ในส่วนประกอบทางเคมีเพิ่มขึ้น

คำสำคัญ: แก้วระบบฟอสเฟต, แก้วระบบฟลูออโรฟอสเฟต, สมบัติทางแสง, สมบัติการเปล่งแสง

Abstract

Gadolinium calcium phosphate and fluorophosphate based glasses with chemical compositions of $\text{P}_2\text{O}_5\text{-CaO-Ga}_2\text{O}_3\text{-Eu}_2\text{O}_3$, $\text{P}_2\text{O}_5\text{-CaF}_2\text{-Ga}_2\text{O}_3\text{-Eu}_2\text{O}_3$, $\text{P}_2\text{O}_5\text{-CaO-GaF}_3\text{-Eu}_2\text{O}_3$ and $\text{P}_2\text{O}_5\text{-CaF}_2\text{-GaF}_3\text{-Eu}_2\text{O}_3$ were prepared and characterized absorption, excitation, emission and lifetime measurements at room temperature. The absorption spectra of Eu^{3+} doped glasses were clear 6 absorption bands in the visible region and infrared region. The excitation spectra of Eu^{3+} doped glasses, nine excitation peaks were observed. The 394 nm excitation was the most intense and therefore selected for the measurement of emission spectra. All the emission spectra exhibited 5 emission bands were centered at 579 nm, 590 nm, 612 nm, 652 nm and 699 nm. The lifetime of the $^5\text{D}_0$ level for different composition of Eu^{3+} ions increase very slightly with increasing fluoride ion.

Keywords: phosphate glass, fluorophosphate glass, optical property, photoluminescence property

1. บทนำ

โฟโตนิกส์ (Photonics) เป็นวิทยาศาสตร์และเทคโนโลยีของการสร้างและการควบคุมแสง โดยเฉพาะแสงในช่วงที่ตามองเห็น (Visible light) และอินฟราเรด (Infrared) การศึกษาโฟโตนิกส์เป็นส่วนหนึ่งซึ่งช่วยพัฒนาเทคโนโลยีการสื่อสาร โดยการประยุกต์โฟโตนิกส์ปรากฏอย่างต่อเนื่องในวงการควอนตัมทางแสง (Quantum optics), กลศาสตร์ทางแสง (Optomechanics), อิเล็กทรอนิกส์ (Electro-optics), ออปโตอิเล็กทรอนิกส์ (Optoelectronics) และควอนตัมอิเล็กทรอนิกส์ (Quantum electronics) จนกระทั่งปัจจุบัน โฟโตนิกส์ได้รับความสนใจอย่างมากซึ่งนำไปสู่การเตรียม และหาวัสดุทางแสงที่เหมาะสมในการประดิษฐ์อุปกรณ์โฟโตนิกส์ เพื่อสร้างอุปกรณ์ทางแสงใหม่ที่มีคุณสมบัติพิเศษขึ้นมา วัสดุที่ได้รับความสนใจจากนักวิจัย คือ แก้วที่เติมธาตุหายาก (Glass doped rare earth) สำหรับแก้วที่เติมธาตุหายากมีคุณสมบัติที่ดีในการสร้างอุปกรณ์ต่างๆ อาทิเช่น อุปกรณ์เปลี่ยนรังสีอินฟราเรดเป็นแสงในช่วงที่ตามองเห็น (Visible to infrared upconverters), คอมแพ็คเลเซอร์ (Compact laser), ตัวขยายสัญญาณในช่วงกว้าง (Broad band amplifiers) และอุปกรณ์เปล่งแสงขาว (White light emitting device) ความน่าสนใจของแก้วเมื่อเปรียบเทียบกับผลึก คือ ราคาถูก, ทำให้มีขนาดใหญ่ได้ (Moorthy et al., 2006: 939), เติมน้ำหนักของธาตุหายากได้มาก และง่ายต่อการขึ้นรูป การเติมธาตุหายากลงในแก้วทำให้เกิดคุณสมบัติการดูดกลืนแสง และการเปล่งแสง แต่ทั้งนี้ขึ้นอยู่กับส่วนประกอบทางเคมี, โครงสร้าง และแก้วโฮสต์ (Host glass) (Raju et al., 2006: 939) แก้วฟอสเฟตเป็นระบบแก้วอีกชนิดหนึ่งที่มีการนำมาประยุกต์ใช้ในเทคโนโลยีจำนวนมาก เนื่องจากคุณสมบัติที่ดี คือ อุณหภูมิการหลอมเหลวต่ำ, การขยายตัวทางความร้อนต่ำ, การกระจายแสงน้อย, มีความโปร่งใสสูง และเป็นระบบแก้วที่มีช่วงของการขึ้นรูปที่กว้าง อย่างไรก็ตามแก้วฟอสเฟตมีข้อเสีย คือ ไม่ทนทานต่อการสึกกร่อนทางเคมี แต่ปัญหานี้สามารถแก้ไขได้โดยการเติมแคลเซียมออกไซด์เป็นสารตั้งต้น (Zwanziger et al., 2012: 1795) อีกปัญหาหนึ่งของแก้วฟอสเฟต คือ มีความชื้นสูง และมีพลังงานโฟนอน (Phonon energy) สูงประมาณ 1,250 ต่อเซนติเมตร (Lavin et al., 2012: 1235) ซึ่งปัญหานี้สามารถแก้ไขได้โดยการเปลี่ยนส่วนประกอบทางเคมีบางตัว จากสารประกอบออกไซด์เป็นสารประกอบฟลูออไรด์ การเติมสารประกอบฟลูออไรด์แทนที่สารประกอบออกไซด์เป็นที่รู้จักกันในแก้วระบบชื่อว่า ฟลูออโรฟอสเฟต จากงานวิจัยของ Wei และคณะ พบว่าสารประกอบฟลูออไรด์ช่วยลดความชื้นขึ้นในการสั่นแบบไม่แผ่รังสีของกลุ่มไฮดรอกไซด์ (Hydroxide group, OH group) เนื่องจากประจุบวกของไฮโดรเจนดึงดูดประจุลบของฟลูออไรด์กลายเป็นไฮดรอกซีฟลูออไรด์ (Hydroxy fluoride, HF) (Wei et al., 2013: 26) การลดลงของกลุ่มไฮดรอกไซด์ช่วยพัฒนาคุณสมบัติของการเปล่งแสงให้ดียิ่งขึ้น (Jayasankar et al., 2007: 1397) ยิ่งไปกว่านั้นสารประกอบฟลูออไรด์ยังช่วยทำให้แก้วโปร่งแสงในช่วงที่ตามองเห็นได้ดีขึ้น, ต้านทานความชื้นได้ดีขึ้น และลดพลังงานโฟนอน ซึ่งมีส่วนทำให้ลดการสูญเสียจากการไม่แผ่รังสี (Non-radiative losses) ด้วย (Ratnakaram et al., 2014: 639) นอกจากนี้ แก้วที่มีสารประกอบของออกไซด์และฟลูออไรด์รวมกันจะแสดงคุณสมบัติทางกายภาพที่คล้ายแก้วออกไซด์ (Jali et al., 2008: 631) จากคุณสมบัติดังกล่าว จึงนิยมนำแก้วออกซีฟลูออไรด์มาประยุกต์ใช้เป็นแบตเตอรี่ขั้นสูง (Advance batteries), อุปกรณ์เซลล์ไฟฟ้า (Electro-chemical devices), เซนเซอร์ (Sensor), ท่อนำคลื่น (Wave guides), อุปกรณ์โฟโตนิกส์ต่างๆ (Florez et al., 2009: 626), เลเซอร์ (Laser), ตัวขยายสัญญาณแสง (Optical amplifier) และวัสดุอัพคอนเวอร์ชัน (Upconversion materials) (Markus et al., 2013: 132)

การเจือธาตุหายากในแก้วส่งผลให้แก้วมีคุณสมบัติการเปล่งแสงเกิดขึ้น การเปล่งแสงของไอออนของธาตุหายากสัมพันธ์กับการทรานซิชันของระดับชั้นพลังงาน 4f-4f และ 4f-5d โดยที่ระดับพลังงาน 4f-4f ให้รูปแบบการเปล่งแสงในช่วงแสงที่ตามองเห็นจนถึงรังสีอินฟราเรดบางส่วนที่ชัดเจนกว่ากลุ่มของธาตุทรานซิชัน (Transition group) (Zhang et al., 2010: 777) เนื่องจากระดับชั้นพลังงาน 4f ถูกป้องกันผลกระทบจากสิ่งแวดล้อมด้วยระดับชั้นพลังงาน 5s และ 5p (Lakshminarayana et al., 2009: 1506) แก้วที่เจือธาตุหายากได้รับความสนใจเนื่องจากสามารถนำไปประยุกต์ใช้ในวัสดุทางแสงได้หลากหลาย เช่น เลเซอร์ทางการแพทย์, จอแสดงภาพสามมิติ, หน่วยความจำแสง และหลอดเรืองแสง เป็นต้น (Chunhua et al., 2007: 99) ธาตุยูโรเปียมเป็นธาตุหายากที่นิยมเจือลงในแก้ว เนื่องจากธาตุยูโรเปียมประจุ 3+ มีคุณสมบัติการเปล่งแสงในช่วงที่ตามองเห็น อีกทั้งระดับพลังงานที่ถูกกระตุ้นของธาตุยูโรเปียมไอออนมีค่าที่ต่ำที่สุด (3D_0) (Buddhudu et al., 2007: 181) เมื่อเปรียบเทียบกับไอออนของธาตุหายากตัวอื่น และไม่เกิดการสูญเสียพลังงานจากการทรานซิชันระหว่างระดับชั้นพลังงาน 7F_0 และ 5D_0 (Moorthy et al., 2011: 574) โดยปกติยูโรเปียมประจุ 3+ มีการเปล่งแสงแคบจนเกือบจะเป็นแสงเดี่ยว (Monochromatic light) โดยแสงที่ได้จากไอออนของยูโรเปียม คือ แสงสีแดง สำหรับนำมาประยุกต์ใช้ในเทคโนโลยีหลอดแอลอีดี (LEDs) (Marimuthu et al., 2013: 6) ดังนั้นงานวิจัยนี้จึงได้มีการเตรียมและศึกษา

คุณสมบัติทางแสง และคุณสมบัติการเปล่งแสงของแก้วโคโกลิเนียมแคลเซียมฟอสเฟตและฟลูออโรฟอสเฟตที่เจือด้วยไอออนของธาตุยูโรเปียม เพื่อแสดงให้เห็นว่าสารประกอบฟลูออไรด์สามารถเพิ่มประสิทธิภาพทางแสงและการเปล่งแสงได้จริง

2. วิธีการทดลอง

2.1 การเตรียมแก้วตัวอย่าง

แก้วโคโกลิเนียมแคลเซียมฟอสเฟตและฟลูออโรฟอสเฟตที่เจือด้วยไอออนของธาตุยูโรเปียมมีส่วนประกอบทางเคมีดังตารางที่ 1 แก้วตัวอย่างถูกเตรียมด้วยวิธีการหลอมและลดอุณหภูมิอย่างรวดเร็ว สารเคมีที่ใช้ในการหลอมมีดังนี้ คือ โมโนแอมโมเนียมฟอสเฟต ($\text{NH}_4\text{H}_2\text{PO}_4$), แคลเซียมออกไซด์ (CaO), แคลเซียมฟลูออไรด์ (CaF_2), แกโคโกลิเนียมออกไซด์ (Gd_2O_3), แกโคลิเนียมฟลูออไรด์ (GdF_3) และยูโรเปียมออกไซด์ (Eu_2O_3) ซึ่งในขั้นตอนแรกต้องชั่งสารเคมีก่อนนำมาหลอม จากนั้นนำสารเคมีทั้งหมดมาผสมกันในเบ้าอลูมินา และหลอมในเตาหลอมไฟฟ้าที่อุณหภูมิต่างๆ คือ 1400 องศาเซลเซียส เป็นเวลา 3 ชั่วโมง ต่อมนำแก้วที่หลอมได้เทลงสแตนเลสโมลด์อย่างรวดเร็ว และอบที่อุณหภูมิ 500 องศาเซลเซียส เป็นเวลา 3 ให้เย็นตัวลงที่อุณหภูมิห้อง และนำแก้วตัวอย่างมาตัดให้มีขนาดประมาณชั่วโมง หลังจากนั้นก็ปล่อยให้เย็น $1.0 \times 1.5 \times 0.3 \text{ cm}^3$ พร้อมขัดให้เรียบ

ตารางที่ 1 ส่วนประกอบทางเคมีของแก้วตัวอย่าง

Glass ID	Glass composition
PCaGdEu	$69\text{P}_2\text{O}_5 : 10\text{CaO} : 20\text{Gd}_2\text{O}_3 :$ $1.0\text{Eu}_2\text{O}_3$
PCaFGdEu	$69\text{P}_2\text{O}_5 : 10\text{CaF}_2 : 20\text{Gd}_2\text{O}_3 :$ $1.0\text{Eu}_2\text{O}_3$
PCaGdFEu	$69\text{P}_2\text{O}_5 : 10\text{CaO} : 20\text{GdF}_3 :$ $1.0\text{Eu}_2\text{O}_3$
PCaFGdFEu	$69\text{P}_2\text{O}_5 : 10\text{CaF}_2 : 20\text{GdF}_3 :$ $1.0\text{Eu}_2\text{O}_3$

2.2 การวัดคุณสมบัติต่างๆ ของแก้ว

การวัดความหนาแน่นอาศัยหลักการแทนที่น้ำของ Archimedes การหาความหนาแน่นสามารถคำนวณได้จากปริมาตรของน้ำที่ถูกแทนที่ โดยการชั่งน้ำหนักของวัตถุในอากาศ และชั่งน้ำหนักของวัตถุนั้นในน้ำหรือของเหลวที่ทราบความหนาแน่น น้ำหนักที่หายไป $\Delta W = (W_{\text{air}} - W_{\text{liq}})$ จะเท่ากับ น้ำหนักของน้ำที่ถูกแทนที่ ปริมาตรของวัตถุจะเท่ากับปริมาตรของน้ำที่ถูกแทนที่คือ $\Delta W / \rho_{\text{liq}}$ เพราะฉะนั้นความหนาแน่นของวัตถุสามารถหาได้โดยสมการที่ 1

$$\rho_{\text{sample}} = \left(\frac{W_{\text{air}}}{W_{\text{air}} - W_{\text{liq}}} \right) \times \rho_{\text{liq}} \quad (1)$$

ซึ่งวิธีนี้โดยทั่วไปมีความคลาดเคลื่อนประมาณ $\pm 0.001 \text{ g/cm}^3$ โดยที่ W_{air} คือ น้ำหนักของตัวอย่างแก้วในอากาศ (g), W_{liq} คือ น้ำหนักของตัวอย่างแก้วในน้ำ (g), $W_{\text{air}} - W_{\text{liq}}$ คือ น้ำหนักที่หายไป (g), ρ คือ ความหนาแน่นของแก้วตัวอย่าง (g/cm^3), ρ_{liq} คือ ความหนาแน่นของน้ำ (g/cm^3) ค่าปริมาตรเชิงโมลาร์ (V_m) สามารถคำนวณได้จากน้ำหนักโมเลกุล (M_r) และความหนาแน่น (ρ) ดังสมการที่ 2

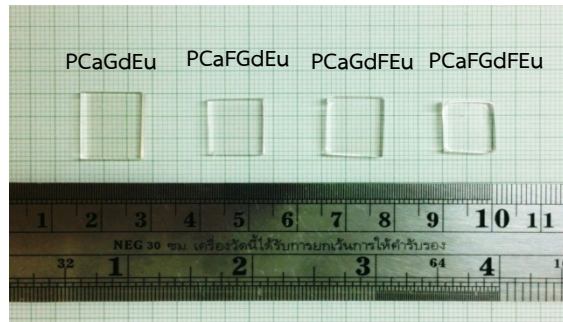
$$V_m = \frac{M_r}{\rho} \quad (2)$$

แก้วตัวอย่างถูกนำมาวัดการดูดกลืนแสงในช่วงความยาวคลื่น 350-2500 นาเมตร โดยเครื่องยูวี-วิสิเบิล-ใกล้อินฟราเรดสเปกโตรโฟโตมิเตอร์ (UV-VIS-NIR spectrophotometer) รุ่น UV3600 Shimadzu ที่อุณหภูมิห้อง การกระตุ้นด้วยแสง, การเปล่งแสง และระยะเวลาการเปล่งแสงของแก้วถูกวัดด้วยเครื่องฟลูออเรสเซนซ์สเปกโตรโฟโตมิเตอร์

(Fluorescence spectrophotometer) รุ่น Shimadzu RF-5301PC สีของการเปล่งแสงจากการกระตุ้นด้วยแสงที่มีความยาวคลื่น 394 นาโนเมตร ถูกวิเคราะห์ด้วยโตอะแกรมสี (Chromaticity diagram) ตามมาตรฐานของ CIE1931

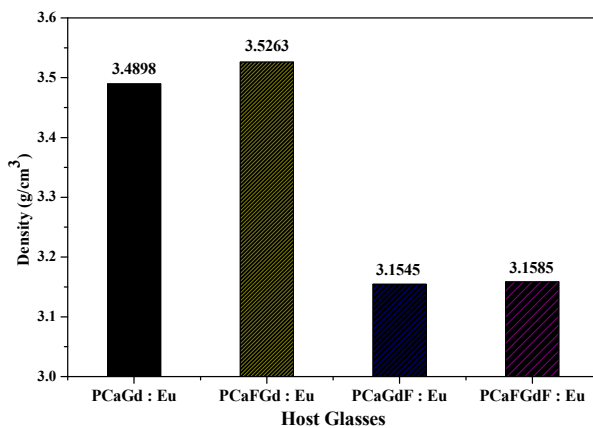
3. ผลการวิจัย

แก้วตัวอย่างที่ได้แสดงดังรูปภาพที่ 1 ซึ่งพบว่าแก้วตัวอย่างมีความโปร่งแสง และเป็นเนื้อเดียวกัน

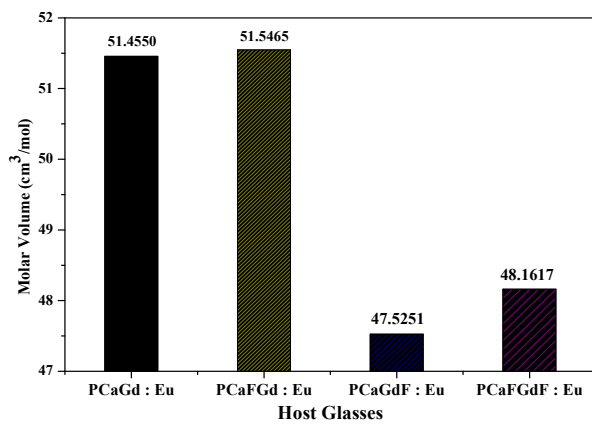


รูปภาพที่ 1 ภาพถ่ายแก้วแกโดลิเนียมแคลเซียมฟอสเฟตและฟลูออโรฟอสเฟตที่เจือด้วยไอออนของธาตุยูโรเปียม

กราฟความสัมพันธ์ระหว่างความหนาแน่นกับส่วนประกอบทางเคมี และกราฟความสัมพันธ์ระหว่างปริมาตรเชิงโมลาร์กับส่วนประกอบทางเคมี แสดงดังรูปภาพที่ 2 และ 3 ตามลำดับ จากรูปภาพที่ 2 จะเห็นว่าความหนาแน่นขึ้นกับมวลโมเลกุลของแก้วตัวอย่าง โดยแก้วตัวอย่าง PCaFGdFEu มีความหนาแน่นมากที่สุด เท่ากับ 3.5263 g/cm³ ปริมาตรเชิงโมลาร์ของแก้วตัวอย่างขึ้นอยู่กับอัตราการเปลี่ยนแปลงระหว่างความหนาแน่นกับมวลโมเลกุล ยิ่งกว่านั้นการแทนที่สารประกอบออกไซด์ด้วยสารประกอบฟลูออไรด์ส่งผลให้ปริมาตรเชิงโมลาร์เพิ่มขึ้น เนื่องจากฟลูออไรด์ไอออนเข้าไปทำลายสะพานออกซิเจนที่เชื่อมระหว่างไอออน (Non-bridging oxygen) และทำให้เกิดช่องว่างภายในโครงข่ายแก้ว ปริมาตรเชิงโมลาร์จึงมีการขยายตัวขึ้น (Hampshire et al., 2007: 165)



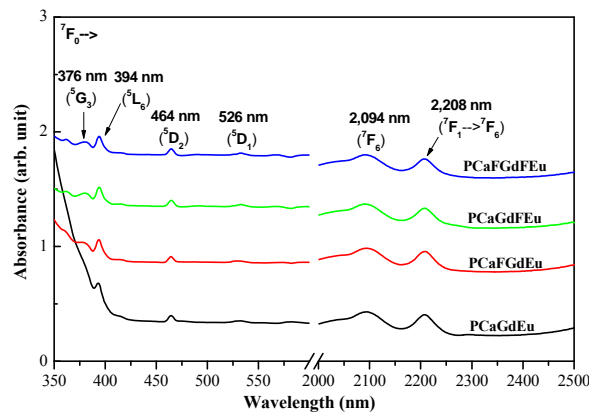
รูปภาพที่ 2 ความสัมพันธ์ระหว่างความหนาแน่นกับส่วนประกอบทางเคมีของแก้วตัวอย่าง



รูปภาพที่ 3 ความสัมพันธ์ระหว่างปริมาตรเชิงโมลาร์กับส่วนประกอบทางเคมีของแก้วตัวอย่าง

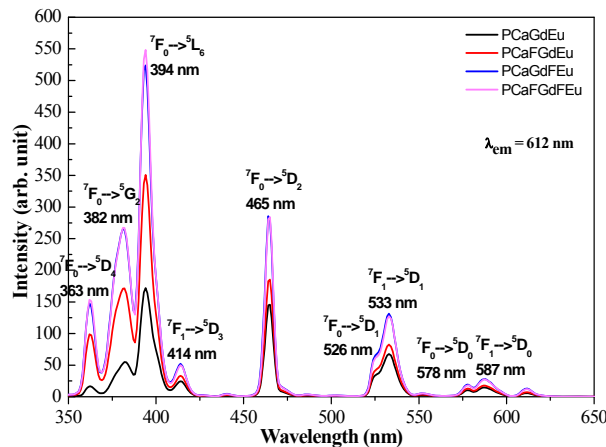
การดูดกลืนแสงในช่วงความยาวคลื่น 350 – 2500 นาโนเมตร ของแก้วแกโดลิเนียมแคลเซียมฟอสเฟตและฟลูออโรฟอสเฟตที่เจือด้วยไอออนของธาตุยูโรเปียม แสดงดังรูปภาพที่ 4 โดยพบว่าแก้วตัวอย่างเกิดสเปกตรัมการดูดกลืนแสงในช่วงความยาวคลื่น คือ ช่วงแสงที่ตามองเห็น และช่วงรังสีอินฟราเรด โดยพีคที่ปรากฏในสเปกตรัมการดูดกลืนแสงเกิดจากการเปลี่ยนระดับชั้นพลังงานของยูโรเปียมไอออนจากสถานะพื้น ⁷F₀ และ ⁷F₁ ไปยังระดับชั้นพลังงานที่สูงกว่า สำหรับช่วงแสงที่ตามองเห็นมีสเปกตรัมการดูดกลืนแสงที่มีความยาวคลื่น 376, 394, 464 และ 526 นาโนเมตร ซึ่งสัมพันธ์กับระดับชั้นพลังงาน ⁵G₃, ⁵L₆, ⁵D₂ และ ⁵D₁ ตามลำดับ ในขณะที่ช่วงรังสีอินฟราเรดเกิดสเปกตรัมที่มีความยาวคลื่น 2,094 และ 2,208

นาโนเมตร ซึ่งสัมพันธ์กับระดับชั้นพลังงาน 7F_6 และ ${}^7F_1 \rightarrow {}^7F_6$ ตามลำดับ เมื่อเปรียบเทียบความเข้มของการดูดกลืนแสงพบว่า พีกที่ความยาวคลื่น 394 นาโนเมตร มีความเข้มสูงกว่าพีกอื่น (Jayasankar, 2013:42)



รูปภาพที่ 4 สเปกตรัมการดูดกลืนแสงของแก้วตัวอย่างในช่วงความยาวคลื่น 350-2500 นาโนเมตร

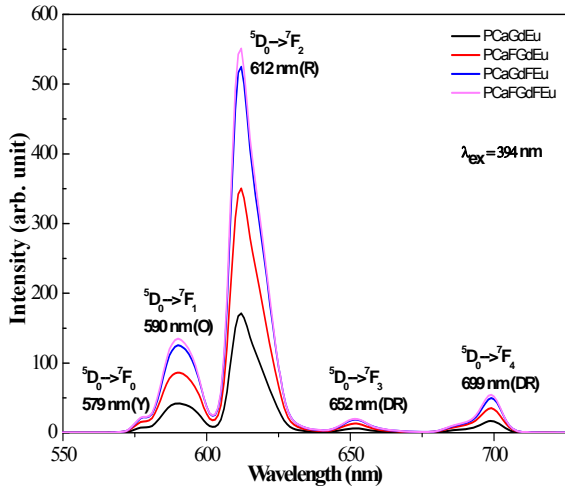
สเปกตรัมการกระตุ้นด้วยแสงของแก้วตัวอย่างที่มีการแปลงแสงที่ความยาวคลื่น 612 นาโนเมตร ถูกวัดที่ความยาวคลื่น 350-650 นาโนเมตร ดังแสดงดังรูปภาพที่ 5 ผลของการศึกษาพบสเปกตรัมการกระตุ้น 9 พีก โดยมีพีกที่เกิดขึ้นเริ่มเปลี่ยนแปลงระดับพลังงานจากสถานะพื้น 7F_0 ไปสู่สถานะกระตุ้น 6 พีก ได้แก่ 5D_4 , 5G_2 , 5L_6 , 5D_2 , 5D_1 และ 5D_0 ซึ่งมีศูนย์กลางที่ความยาวคลื่น 363, 382, 394, 465, 526 และ 578 นาโนเมตร ตามลำดับ และมีพีกที่เริ่มเปลี่ยนแปลงระดับพลังงานจากสถานะพื้น 7F_1 ไปสู่สถานะกระตุ้น 3 พีก ได้แก่ 5D_3 , 5D_1 และ 5D_0 ซึ่งมีศูนย์กลางที่ความยาวคลื่น 414, 533 และ 587 นาโนเมตร ตามลำดับ ในงานวิจัยนี้จะเห็นว่าพีกการกระตุ้นด้วยแสงที่ความยาวคลื่น 394 นาโนเมตร มีความเข้มสูงที่สุดและถูกเลือกเพื่อนำไปวัดการแปลงแสงของแก้วตัวอย่างต่อไป



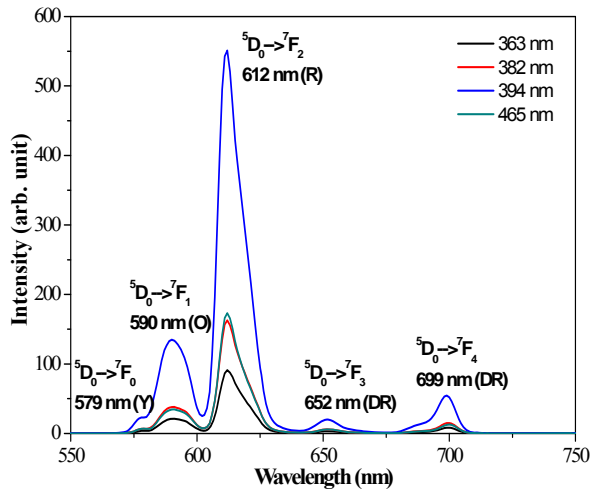
รูปภาพที่ 5 สเปกตรัมของการถูกกระตุ้นของแก้วตัวอย่างที่มีการแปลงแสงที่ความยาวคลื่น 612 นาโนเมตร

สเปกตรัมการแปลงแสงของแก้วตัวอย่างภายใต้การกระตุ้นด้วยความยาวคลื่น 394 นาโนเมตร ถูกวัดที่ความยาวคลื่น 550-750 นาโนเมตร แสดงดังรูปภาพที่ 6 ผลของการศึกษาพบสเปกตรัมการแปลงแสงพบว่าสัมพันธ์กับการทรานซิชัน ${}^5D_0 \rightarrow {}^7F_J$ ($J = 0, 1, 2, 3$ และ 4) ของยูโรเปียมไอออน สเปกตรัมการแปลงแสงที่เกิดขึ้นสัมพันธ์กับระดับชั้นพลังงาน ${}^5D_0 \rightarrow {}^7F_0$, ${}^5D_0 \rightarrow {}^7F_1$, ${}^5D_0 \rightarrow {}^7F_2$, ${}^5D_0 \rightarrow {}^7F_3$ และ ${}^5D_0 \rightarrow {}^7F_4$ โดยมีศูนย์กลางที่ความยาวคลื่น 579 (แปลงแสงสีเหลือง), 590 (แปลงแสงสีส้ม), 612 (แปลงแสงสีแดง), 652 (แปลงแสงสีแดงเข้ม) และ 699 นาโนเมตร (แปลงแสงสีแดงเข้ม) ตามลำดับ เมื่อเปรียบเทียบความเข้มของการแปลงแสง พบว่าที่การแปลงแสงที่ความยาวคลื่น 612 นาโนเมตร มีการแปลงแสงเข้มที่สุดเนื่องจากการทรานซิชันของไดโพลทางไฟฟ้า (Electric dipole transition) และความสมมาตร (Local symmetry) ของลิ

แกนด์ (Ligand) รอบยูโรเปียมไอออน (Marimuthu et al., 2013: 88) ยิ่งกว่านั้นยังพบว่าแก้วที่มีสารประกอบฟลูออไรด์มาก มีการเปล่งแสงเข้มกว่าแก้วที่มีสารประกอบออกไซด์ โดยแก้ว PCaFGdFEu มีการเปล่งแสงเข้มที่สุด เนื่องจากสารประกอบแคลเซียมฟลูออไรด์ และสารประกอบแกโดลิเนียมฟลูออไรด์ ช่วยลดพลังงานโฟนอนของแก้วตัวอย่างลง (Jayasankar et al., 2013: 903) จากนั้นได้ทำการศึกษาสเปกตรัมของการเปล่งแสงของแก้ว PCaFGdFEu โดยเปลี่ยนค่าความยาวคลื่นของการกระตุ้นด้วยแสง ดังแสดงดังรูปภาพที่ 7 พบว่าไม่มีการเปลี่ยนแปลงตำแหน่งของพีคของการเปล่งแสง ในขณะที่การกระตุ้นด้วยแสงที่ความยาวคลื่น 394 นาโนเมตร ให้ความเข้มของการเปล่งแสงสูงที่สุด

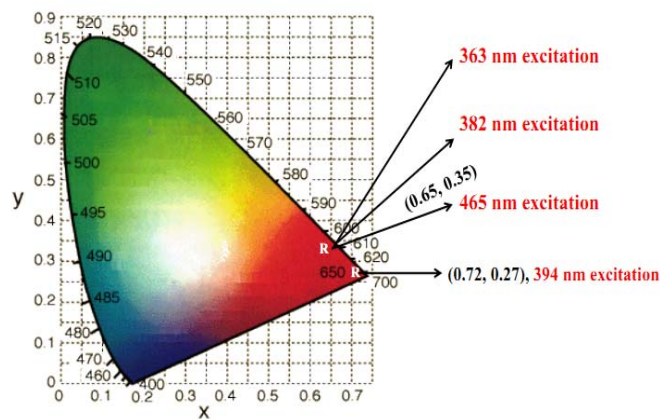


รูปภาพที่ 6 สเปกตรัมการเปล่งแสงของแก้วตัวอย่างภายใต้การกระตุ้นที่ความยาวคลื่น 394 นาโนเมตร



รูปภาพที่ 7 สเปกตรัมการเปล่งแสงของแก้ว PCaFGdFEu ภายใต้การกระตุ้นที่ความยาวคลื่นค่าต่างๆ

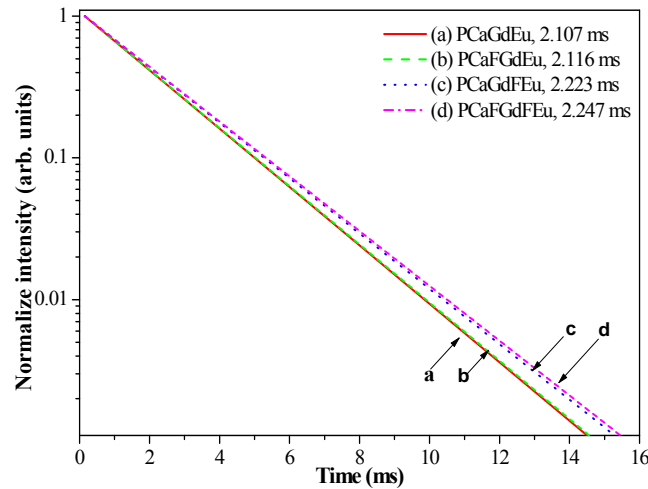
สีของการเปล่งแสงสัมพันธ์กับความเข้มของการเปล่งแสงของแก้วตัวอย่างโดยถูกนำมาวิเคราะห์ในไดอะแกรมตามมาตรฐานของ CIE (Comission Internationaled'Eclairage) การเปล่งแสงของแก้วตัวอย่างภายใต้การกระตุ้นที่ความยาวคลื่น 363, 382, 394 และ 465 นาโนเมตร แสดงดังรูปภาพที่ 8 จากการศึกษาพบว่าแก้วตัวอย่างภายใต้การกระตุ้นแสงที่ความยาวคลื่น 363, 382 และ 465 ตกอยู่ในคู่อันดับ (0.65, 0.35) ในขอบเขตของการเกิดเปล่งแสงสีแดง อย่างไรก็ตามการกระตุ้นแสงที่ความยาวคลื่น 394 นาโนเมตร ตกอยู่ในคู่อันดับ (0.72, 0.27) แสดงให้เห็นว่าสเปกตรัมการเปล่งแสงของแก้วตัวอย่างมีการเลื่อนเล็กน้อยเมื่อมีการเปลี่ยนแปลงค่าความยาวคลื่นของการกระตุ้นแสง (Moorthy et al., 2013: 231)



รูปภาพที่ 8 ไดอะแกรมสีการเปล่งแสงของแก้วตัวอย่างภายใต้การกระตุ้นที่ความยาวคลื่นค่าต่างๆ

ระยะเวลาของการเปล่งแสงจากสถานะกระตุ้นลงสู่ระดับชั้นพลังงาน 5D_0 ของแก้วตัวอย่างแสดงดังรูปภาพที่ 9 ซึ่งถูกวัดค่าภายใต้การกระตุ้นที่ความยาวคลื่น 394 นาโนเมตร ที่มีหลอดซินอนเป็นแหล่งกำเนิดแสง และควบคุมการเปล่งแสงที่ความยาวคลื่น 612 นาโนเมตร จากการศึกษาพบว่าแก้ว PCaGdEu, PCaFGdEu, PCaGdFEu และ PCaFGdFEu มีระยะเวลาของการเปล่งแสงเท่ากับ 2.107, 2.116, 2.223 และ 2.247 มิลลิวินาที ตามลำดับ ระยะเวลาของการเปล่งแสงมีค่าเพิ่มขึ้นเล็กน้อย

กับการเพิ่มขึ้นของปริมาณฟลูออไรด์ไอออน และการวัดค่าระยะเวลาของการเปล่งแสงส่วนใหญ่มีค่าใกล้เคียงกัน เนื่องจากไม่สนใจการไม่แผ่รังสีของการส่งผ่านพลังงานระหว่างยูโรเปียมไอออน (Moorthy et al., 2008: 63)



รูปภาพที่ 9 ระยะเวลาของการเปล่งแสงจากสถานะกระตุ้นลงสู่ระดับชั้นพลังงาน 5D_0 ของแก้วตัวอย่าง

4. บทสรุป

แก้วตัวอย่างที่เตรียมได้มีความโปร่งแสง และเป็นเนื้อเดียวกัน ความหนาแน่นขึ้นกับมวลโมเลกุลของแก้วตัวอย่าง ปริมาตรเชิงโมลาร์ของแก้วตัวอย่างขึ้นอยู่กับอัตราการเปลี่ยนแปลงระหว่างความหนาแน่นกับมวลโมเลกุล และปริมาณฟลูออไรด์ แก้วตัวอย่างเกิดสเปกตรัมการดูดกลืนแสงใน 2 ช่วงความยาวคลื่น คือ ช่วงแสงที่ตามองเห็น และช่วงรังสีอินฟราเรด โดยพีคที่ปรากฏในสเปกตรัมการดูดกลืนแสงเกิดจากการเปลี่ยนระดับชั้นพลังงานของยูโรเปียมไอออนจากสถานะพื้น 7F_0 และ 7F_1 ไปยังระดับชั้นพลังงานที่สูงกว่า ผลของการศึกษาพบสเปกตรัมการกระตุ้น 9 พีค โดยพีคที่เกิดขึ้นเริ่มเปลี่ยนแปลงระดับพลังงานจากสถานะพื้น 7F_0 ไปสู่สถานะกระตุ้น ในงานวิจัยนี้จะเห็นว่าพีคการกระตุ้นที่ความยาวคลื่น 394 นาโนเมตร มีความเข้มสูงที่สุด สเปกตรัมการเปล่งแสงสัมพันธ์กับการทรานซิชัน $^5D_0 \rightarrow ^7F_J$ ($J = 0, 1, 2, 3$ และ 4) ของยูโรเปียมไอออน โดยที่การเปล่งแสงที่ความยาวคลื่น 612 นาโนเมตร มีการเปล่งแสงเข้มที่สุด สเปกตรัมของการเปล่งแสงของแก้ว PCaFGdFEu เมื่อเปลี่ยนค่าความยาวคลื่นของการกระตุ้นด้วยแสง พบว่าไม่มีการเปลี่ยนแปลงตำแหน่งของพีคของการเปล่งแสง การศึกษาสีของการเปล่งแสงของแก้วตัวอย่างจากไดอะแกรมของสี พบว่าแก้วตัวอย่างตกอยู่ในขอบเขตของการเกิดเปล่งแสงสีแดง การวัดค่าระยะเวลาของการเปล่งแสง พบว่ามีค่าเพิ่มขึ้นเล็กน้อยกับการเพิ่มขึ้นของปริมาณฟลูออไรด์ไอออน

5. กิตติกรรมประกาศ

ผู้วิจัยขอขอบคุณ ภาควิชาฟิสิกส์ คณะวิทยาศาสตร์ มหาวิทยาลัยเทคโนโลยีพระจอมเกล้าธนบุรี และศูนย์วิจัยแห่งความเป็นเลิศทางเทคโนโลยีแก้วและวัสดุศาสตร์ มหาวิทยาลัยราชภัฏนครปฐม สำหรับความร่วมมือและสนับสนุนงานวิจัยนี้เป็นอย่างดี

6. เอกสารอ้างอิง

Buddhudu, S. & Lakshminarayana, G. (2007). Spectral analysis of Eu^{3+} and Tb^{3+} : B_2O_3 - ZnO - PbO glasses. *Materials chemistry and physics*, (102), 181-186.

Chunhua, L. Yan, Z. Yaru, N. Qitu, Z. & Zhongzi, X. (2007). Optical properties of Dy^{3+} doped in borooluminasilicate glass. *Journal of rare earths*, (25), 99-103.

- Florez, A. Ulloa, E.M. & Cabanzo, R. (2009). Optical properties of Nd³⁺ and Er³⁺ ions in fluoro-phosphate glasses: effect of P₂O₅ concentration and laser applications. **Journal of alloys and compounds**, (488), 606-611.
- Hampshire, S. Hanifi, A.R. Genson, A. & Pomeroy, J. (2007). Ca-Si-Al-O-N Glasses: Effects of fluoride on glass formation and properties. **Key Engineering Materials**, (352), 165-172.
- Jali, V.M. Shantala, D.P. & Anavekar, R.V. (2008). Synthesis and structural studies of Na₂O-ZnO-ZnF₂-B₂O₃ oxyfluoride glasses. **Indian academy of sciences**, (31), 631-634.
- Jayasankar, C.K. Balakrishnaiah, A. Vijaya, R. Babu, P. & Reddy, M.L.P. (2007). Characterization of Eu³⁺-doped fluorophosphates glasses for red emission. **Journal of non-crystalline solids**, (353), 1397-1401.
- Jayasankar, C.K. Kesavulu, C.R. Kumar, K.K. Vijaya, N. & Lim, K.S. (2013). Thermal, vibrational and optical properties of Eu³⁺-doped lead fluorophosphates glasses for red laser applications. **Journal of materials physics and chemistry**, (141), 903-911.
- Jayasankar, C.K. & Vijaya, N. (2013). Structural and spectroscopic properties of Eu³⁺-doped zinc fluorophosphates glasses. **Journal of Molecular Structure**, (1036), 42-50.
- Lakshminarayana, G. Yang, R. Mao, M. & Qui, J. (2009). Spectral analysis of RE³⁺ (RE = Sm, Dy, and Tm): P₂O₅-Al₂O₃-Na₂O glasses, **Optical materials**, (31), 1506-1512.
- Lavin, V. Lopez, F.R. Babu, P. Jyothi, L. Mendoza, U.R.R. Martin, I.R. & Jayasanjar, C.K. (2012). Er³⁺-Yb³⁺ codoped phosphate glasses used for an efficient 1.5 μm broadband gain medium. **Optical Materials**, (34), 1235-1240.
- Marimuthu, K. & Arunkumar, S. (2013). Structural and luminescence studies on Eu³⁺: B₂O₃-Li₂O-MO-LiF (M = Ba, Bi₂, Cd, Pb, Sr₂ and Zn) glasses”, **Journal of luminescence**, (139), 6-15.
- Marimuthu, K. Arunkumar, S. & Krishnaiah, K.V. (2013). Structural and luminescence behavior of lead fluoroborate glasses containing Eu³⁺ ions. **Physica B**, (416), 88-100.
- Markus, P.H. Eric, M.W. Lira, A.C. Caldino, U. & Darrick, J.W. (2013). Cross relaxation in rare-earth-doped oxyfluoride glasses, **Journal of luminescence**, (139), 132-142.
- Moorthy, L.R. Babu, A.M. Jamalaiah, B.C. Suhasini, T. & Rao, T.S. (2011). Optical properties of Eu³⁺ ions in lead tungstate tellurite glasses, **Solid state sciences**, (13), 574-578.
- Moorthy, L.R. Jamalaiah, B.C. Kumar, J.S. & Babu, A.M. (2008). Spectroscopic studies of Eu³⁺ ions in LBTAf glasses. **Journal of Alloys and Compounds**, (478), 63-67.
- Moorthy, L.R. Jayasimhadri, M. Saleem, S.A. & Ravikumar, R.V.S.S.N. (2006). Spectroscopic characteristics of Sm³⁺-doped alkali fluorophosphates glasses. **Spectrochimica acta part A**, (64), 939-944.
- Moorthy, L.R. Rasool, S.N. & Jayasankar, J.K. (2013). Optical and luminescence properties of Eu³⁺-doped phosphate based glasses. **Materials Express**, (3), 231-240.
- Ratnakaram, Y.C. Babu, S. Balakrishnaiah, A. & Rajesh, D. (2014). Investigations on luminescence performance of Sm³⁺ ions activated in multi- component fluoro-phosphate glasses. **Spectrochimica acta part A**, (122), 639-648.
- Raju, B.D.P. & Reddy, C.M. (2012). Structural and optical investigations of Eu³⁺ ions in lead containing alkali fluoroborate glasses. **Optical materials**, (34), 1251-1260.
- Wei, W. Peng, B. Shennuo, X. Pengfei, W. & Ruilin, Z. (2013). Effect of alkaline-earth fluorides and OH⁻ on spectroscopic properties of Yb³⁺ doped TeO₂-ZnO-B₂O₃ based glasses. **Journal of Luminescence**, (140), 26-29.
- Zhang, F. Xiao, Z. Yan, L. Zhu, F. & Huang, A. (2010). Visible luminescence properties of Er³⁺-Dy³⁺ codoped tellurite glasses. **Applied physics A: material science & processing**, (101), 777-780.
- Zwanziger, J.W. Chenu, S. Zwanziger, U.W. & Calahoo, C. (2012). Structure and properties of NaPO₃-ZnO-Nb₂O₅-Al₂O₃ glasses. **Journal of Non-Crystalline Solids**, (358), 1795-1805.